



برآورد دمای تبلور بلورهای کوارتز خود شکل منطقه قهرود کاشان با استفاده از دماسنجد **TitaniQ**

محمد رضا رضاپور^۱، محسن موذن^{*}^۲، رباب حاجی علی اوغلی^۱، وارطان سیمونز^۳

۱- گروه علوم زمین، دانشکده علوم طبیعی، دانشگاه تبریز

۲- مرکز تحقیقات علوم پایه، دانشگاه تبریز

(دریافت مقاله: ۹۵/۱۰/۱، نسخه نهایی: ۹۶/۱۲۳)

چکیده: توده نفوذی گرانیتوبئیدی قهرود قسمتی از مجموعه آذرین ارومیه-دخت است و سنگ‌های اصلی تشکیل دهنده آن گرانیت و تونالیت با سن میوسن میانی هستند. فعالیت‌های گرمابی در پی نفوذ این توده آذرین، به ویژه در بخش جنوبی بسیار فعال بوده است. این امر موجب تشکیل کوارتز‌های درشت خود شکل شده است. دگرسانی سنگ دیواره گرانیتوبئیدی با تخریب فلدسپار پتانسیم، پلازیوکلاز و بیوتیت همراه بوده و عناصر K, Rb, Sr و به مقدار کمتر Al را از داخل شبکه بلوری شسته و وارد سیال گرمابی کرده است. تجزیه نمونه‌های کوارتز با روش ذوب قلیایی و ICP-MS نشان دهنده افزایش مقادیر برخی از عناصر از جمله Li (۱۰/۳۳)، Al (۶۹۰۰)، K (۶۰۰)، Rb (۱۲۵)، Sr (۳۳۵) (ppm) و بیهنجاری مثبت REEها نسبت به LREEها بیانگر گرمابی بودن کوارتز‌های منطقه مورد نظر هستند. بکارگیری دماسنجد مقدار تیتانیوم در کوارتز یا TitaniQ دمای ۳۰۷ تا ۵۴۷ درجه سانتیگراد با مقدار متوسط ۳۷۱ درجه سانتیگراد (با توجه به تعداد داده‌ها) را برای تشکیل این کوارتزها نشان می‌دهد. این دما در همخوانی بسیار خوبی با دمای محاسبه شده با استفاده از سیالات درگیر (۳۰۶ تا ۵۵۰ درجه سانتیگراد) است. دماهای محاسبه شده خاستگاه گرمابی این کوارتزهای خود شکل را نشان می‌دهد.

واژه‌های کلیدی: کوارتز گرمابی؛ دماسنجد؛ تیتانیوم در کوارتز؛ قهرود؛ کاشان.

عناصر قلیایی و عناصر واسطه هستند [۵-۳]. از عناصر فرعی

موجود در کوارتز می‌توان برای تشخیص شرایط تبلور این کانی استفاده کرد [۶-۸]. تیتانیوم مهمترین عنصر در ساختار کوارتز است که مقدار اتحال آن (به صورت محلول جامد) در کوارتز تابع دماست [۵، ۹-۱۱]. از این امر برای کالیبره کردن دماسنجد تیتانیوم در کوارتز و یا TitaniQ استفاده شده است [۱۱]. برخلاف بیشتر کانی‌های گرمابی، کوارتز تحت تاثیر فرایندهای دگرسانی قرار نمی‌گیرد و بدین ترتیب می‌تواند شرایط تبلور را نشان دهد. از این نظر کوارتز کانی بسیار ارزشمندی است. نفوذ توده گرانیتوبئیدی قهرود در سنگ‌های رسوبی ژوراسیک و کرتاسه در منطقه کاشان تولید سامانه گرمابی را باعث شده است. بلورهای نسبتاً درشت خودشکل کوارتز بدین صورت شکل گرفته‌اند. دمای تبلور این کوارتزها با

مقدمه

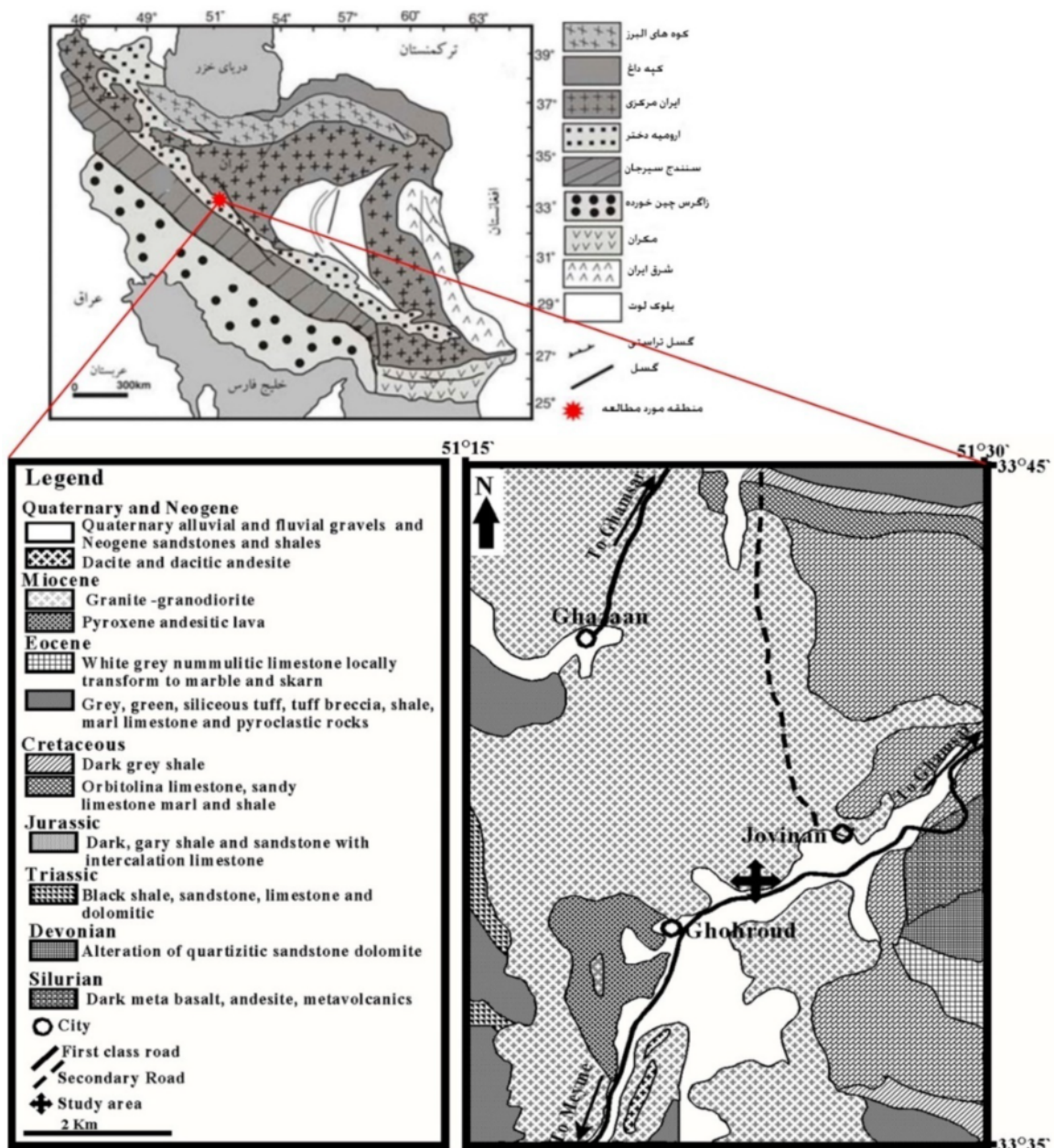
کوارتز یکی از عمده‌ترین کانی‌های تشکیل دهنده سنگ‌های مختلف در پوسته زمین است. این کانی از کانی‌های اصلی سنگ‌های آذرین حدواسط تا اسیدی، ماسه سنگ‌ها و سنگ‌های دگرگونی به ویژه سنگ‌های دگرگونی رسی و نیمه‌رسی است. همچنین کوارتز از محلول‌های گرمابی در سیستم‌های آذرین، دگرگونی و میانزایی تشکیل می‌شود [۱]. کوارتز در دمای ۵۰ تا ۷۵۰ درجه سانتیگراد از محلول‌های گرمابی تشکیل می‌گردد. بررسی کوارتزهای گرمابی اهمیت زیادی در شناخت شرایط تشکیل و چرخه سیالات گرمابی در پوسته زمین دارد [۲]. هر چند کوارتز به طور معمول SiO_2 خالص در نظر گرفته می‌شود لیکن می‌تواند عناصر دیگری را به صورت مقادیر جزئی در ساختار خود داشته باشد که مهمترین این عناصر آلومینیوم،

سن میوسن میانی در شمال و جنوب روستای قهروود در مجموعه‌ای از شیل و ماسه سنگ‌های ژوراسیک و سنگ آهک و مارن‌های کرتاسه و ائوسن نفوذ کرده و باعث دگرگونی مجاورتی سنگ‌های اطراف و تشکیل هورنفلس و اسکارن شده است (شکل ۱). فعالیت ژرف توده‌ای در منطقه قهروود به صورت توده نفوذی استوک مانند بوده و بیرونزدگی‌های بزرگ و کوچک این توده نزدیک به ۶۵ کیلومتر مربع مساحت دارد [۱۲]. عمدۀ واحدهای سنگی منطقه به ترتیب سن عبارتند از سنگ‌های آذرآواری ائوسن، گرانیت و گرانودیوریت میوسن میانی، شیل-مارن و آهک الیکومیوسن و داسیت، تراکی آندزیت و آندزیت

استفاده از مقدار تیتانیوم آن‌ها محاسبه شده است. نتیجه این بررسی به همراه بررسی‌های ایزوتوپی و سیالات درگیر خاستگاه گرمابی را برای این کوارتزها مشخص می‌کند.

زمین شناسی منطقه

دسترسی به منطقه قهروود با مختصات جغرافیایی، طول 56° تا $51^{\circ}25'$ شرقی و عرض $31^{\circ}41'$ تا $33^{\circ}41'$ شمالی از راه جاده آسفالتی کاشان-قمصر-میمه و سپس راههای خاکی متنه به منطقه امکان‌پذیر است. توده گرانیت‌وئیدی قهروود در ۱۲۰ کیلومتری شمال غرب اصفهان در نوار ماقمایی ارومیه-دختر واقع شده است. این توده متتشکل از گرانودیوریت-تونالیت با

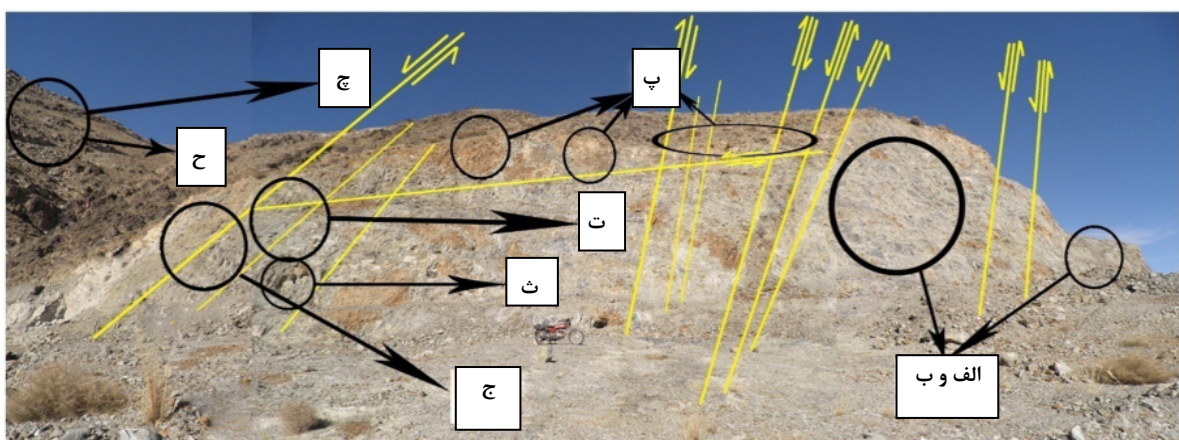


شکل ۱ نقشه ساده شده توزیع واحدهای سنگی منطقه مورد بررسی (برگرفته از نقشه ۱:۱۰۰۰۰ کاشان).

توصیف کوارتزهای منطقه قهروند کاشان

فرایندهای گرمابی باعث تشکیل بلورهای کوارتز خودشکل در اندازه‌های بین ۱ تا ۱۴ سانتی‌متر در درز و شکافهای سنگ‌ها شده‌اند [۱۴]. درز و شکافهای ایجاد شده به همراه کوارتزایی پس از آن، در همه سنگ‌های منطقه (گرانیت و گرانوودیوریت، ماسه‌سنگ، اسکارن و هورنفلس) به جز دایک‌ها مشاهده شده و در همه سنگ‌شناسی‌های قدیمی‌تر از فعالیت گرمابی قابل شناسایی است [۱۵]. فرایندهای گرمابی و دگرسانی‌های پس از آن باعث ایجاد رنگ‌های متنوعی به صورت سطحی و حاشیه‌ای بلورهای کوارتز شده است. این رنگ‌ها به همراه فاصله و محل تشکیل آنها در شکل ۲ آورده شده است. شکل ۳ نمونه‌هایی از کوارتزهای تشکیل شده را نشان می‌دهد.

نوza با ساختار گنبدی مانند. جنس قسمت جنوبی توده نفوذی از نوع گرانیت بوده و دگرسانی‌های متعددی بر آن اثر کرده‌اند. بررسی‌های سنگنگاری و زمین‌شیمیایی انجام شده بر توده قهروند ضمن تأیید ترکیب گرانوودیوریت و توналیت برای آن، نشان دهنده نوع I بودن این توده و تشکیل آن از یک ماجمای آهکی-قلیایی و متالومین در محیط زمین‌ساختی ماجمایی وابسته به قوس قاره‌ای است [۱۶]. همچنین بخش‌هایی از حاشیه جنوبی توده قهروند دچار دگرسانی‌های گرمابی وسیعی شده است. با توجه به شواهد سنگنگاری، این دگرسانی‌ها از نوع سیلیسی‌شدن، سریسیتی‌شدن، کلریتی‌شدن، اپیدوتی‌شدن و هماتیتی‌شدن هستند [۱۳].



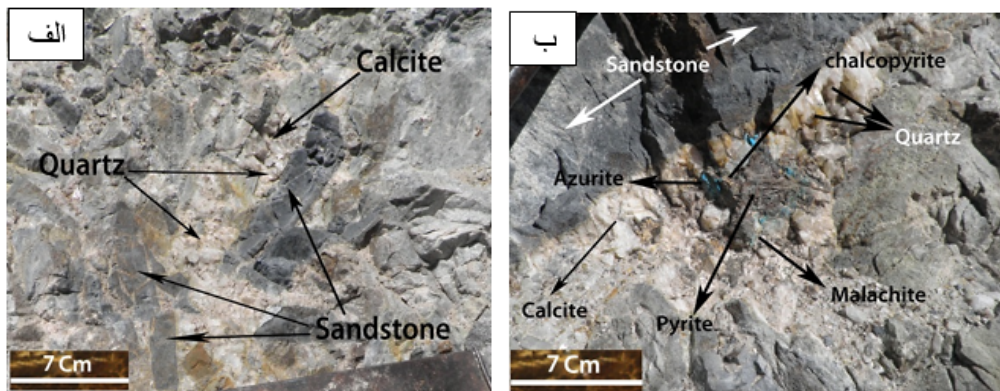
شکل ۲ قرارگیری کوارتزها و آثار دگرسانی در سنگ‌های منطقه قهروند. (الف و ب) سنگ دربرگیرنده ماسه سنگ سیلیسی شده دارای کوارتزهای نیمه شفاف و شفاف، (پ) سنگ دربرگیرنده ماسه هماتیتی شده دارای کوارتزهای با پوشش زرد رنگ، (ت) کوارتزهای با پایه‌های دودی-قهوهای متمایل به قرمز، فاقد دگرسانی خاص (سنگ دربرگیرنده: گرانیت و گرانوودیوریت)، (ث - ج) بدنه اپیدوتی و کلریتی شده، کوارتزهای با پوشش سطحی و حاشیه‌ای سیاه و سیز رنگ (سنگ دربرگیرنده: گرانیت و گرانوودیوریت). (ج) کوارتزهای روتیل‌دار (سنگ دربرگیرنده: گرانیت، گرانوودیوریت و اسکارن)، (ح) کوارتز گارنت‌دار (سنگ دربرگیرنده: اسکارن و گرانیت‌های آلایش یافته با پوسته). برای مقایسه شکل به موتورسیکلت توجه شود.



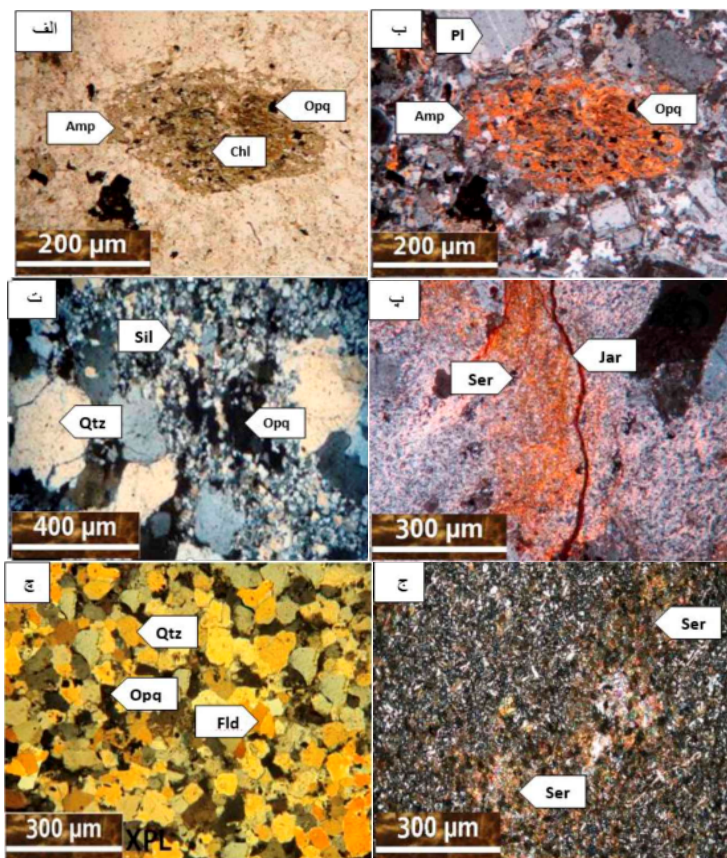
شکل ۳ نمونه‌های دارای روتیل و بدون روتیل از کوارتزهای منطقه قهروند در کنار هم. برای تجزیه‌های شیمیایی از قسمت‌های بدون میانبار کوارتزهای روتیل‌دار استفاده شده است.

میکروسکوپیکی برگرفته از مرجع [۱۶] است. فرایند دگرسانی در این گرانیتوئیدها باعث تجزیه آمفیبیول به کلریت، اپیدوت و کانی‌های تیره شده است. علاوه بر این شواهد، وجود بافت شکافه پرکن شاهد خوبی برای فرایند گرمابی اثرگذار بر توده است (شکل ۴).

بررسی‌های صحرایی و سنگنگاری منطقه نشان‌دهنده فرایندهای گرمابی در این توده است (شکل ۴). مجموعه کانی‌های حاصل از فعالیت‌های گرمابی و دگرسانی‌ها کوارتز، سریسیت، تورمالین، ژاروسیت، اکسیدهای آهن و کلریت هستند (شکل ۵). علانم اختصاری به کار رفته در تصاویر



شکل ۴ (الف) بافت شکافه پرکن که نشان‌دهنده فعالیت گرمابی است، (ب) علاوه بر بلورهای کوارتز کانی‌های دیگری از جمله کلسیت شکل‌دار، پیریت، کالکوپیریت، آزوریت و ملاکیت در شکاف‌های ماسه سنگ تشکیل شده‌اند.



شکل ۵ (الف) مقطع عرضی آمفیبیول دگرسان شده به کلریت و کانی‌های تیره (نور PPL)، (ب) مقطع عرضی آمفیبیول، رنگ متمایل به قهوه‌ای و قرمز بیانگر حضور تیتانیم و آهن در این کانی است که در نتیجه تاثیرات سیال گرمابی داغ کانی‌های تیره در راستای رخ کانی تشکیل شده‌اند (نور XPL)، (پ) دگرسانی سریسیتی و ژاروسیتی در توده نفوذی گرانیتوئیدی منطقه (نور PPL)، (ت) دگرسانی سیلیسی شدن، (ث) دگرسانی سریسیتی و سوسوریتی شدن در اثر آب‌های داغ گرمابی (نور XPL)، (ج) سنگ میزان ماسه سنگی در برگیرنده کوارترهای شفاف و نیمه‌شفاف (نور XPL).

معمول و همچنین غنی‌شدنگی از HREE و فقیرشدنگی از LREE صورت گرفته باشد می‌توان کوارتزها را جزء کوارتزهای گرمابی در نظر گرفت.

طبق نظر [۶] نمونه‌هایی با ویژگی‌های پigmاتیتی متفاوت از نمونه‌های با خاستگاه گرمابی یا خاستگاه دگرگونی هستند و الگوی نزولی (غنى بودن از LREE و فقیر بودن از HREE) در نمودارهای عنکبوتی بهنجار شده نسبت به کندrit‌ها مشخصه کوارتزهای پigmاتیتی و دگرگونی است. بر این اساس می‌توان نتیجه گرفت که نمونه‌های کوارتز قهروod بر اثر فعالیت‌های گرمابی به وجود آمده اند (جدول ۲).

علاوه بر این طبق نظر [۲] بی‌هنجری Eu مشخصه کوارتزهای گرمابی و بی‌هنجری Cs مشخصه کوارتزهای با خاستگاه دگرگونی و پigmاتیتی هستند. کوارتزهای کاشان از نظر عنصر Eu نسبت به کوارتزهای دگرگونی غنی‌تر هستند (شکل ۷). پس می‌توان چنین گفت که خاستگاه کوارتزهای مورد بررسی از سیالات دگرگونی نیست. روابط صحرایی و انواع سنگ‌های موجود در منطقه نیز این مطلب را تائید می‌کند. تفاوت در مقادیر عناصر Y برای Li, Al, K, Rb, Sr, Y با کوارتزهای تشکیل شده از سیال‌های دگرگونی در منطقه عناصر برای کوارتزهای کاشان در جدول ۲ آورده شده است. به روشی دیده می‌شود که خاستگاه کوارتزهای منطقه قهروod کاشان سیالات دگرگونی نیستند.

به عقیده [۳] افزایش مقدار عنصر استرانسیم در ترکیب کوارتزهای گرمابی می‌تواند به دلیل دگرسانی سنگ دیواره و خروج این عنصر از داخل پلازیوکلازها باشد. این عنصر دارای شعاع و باریونی بسیار نزدیک به عنصر کلسیم است و می‌تواند در شبکه فلدسپارها جانشین کلسیم شود. بدون شک دگرسانی سنگ دیواره گرانیتوئیدی با تخریب فلدسپار پتاسیم، پلازیوکلاز و بیوتیت همراه بوده و قادر است عناصر K, Sr, Rb, K و همچنین به مقدار کمتر Al را از شیکه بلوری این کانی‌ها شسته و وارد سیال گرمابی کند. بنابر این کوارتزهای شکل گرفته از این سیالات گرمابی از این عناصر غنی هستند.

با توجه به بررسی‌های انجام شده توسط [۶] بر کوارتزهای حاصل از فعالیت‌های گرمابی، مقادیر بالای Sr و Rb گرمابی بودن کوارتزهای منطقه قهروod را تائید می‌کند.

روش آماده‌سازی و تجزیه نمونه‌ها

برای به دست آوردن نمونه‌های مناسب کوارتز برای تجزیه عناصر فرعی، نمونه‌های بسیار شفاف و قادر درگیری‌های جامد و سیال انتخاب شدند. نمونه‌های انتخابی برای اطمینان از اینکه فاقد ادخال هستند، زیر میکروسکوب مورد بررسی قرار گرفتند. سپس نمونه‌ها به وسیله پودرکن کربید تنگستن تا اندازه کوچکتر از ۲۰۰ مش (۷۵ میکرون) پودر شدند. به‌منظور آماده سازی نمونه‌ها برای تجزیه شیمیایی مقدار مشخصی از پودر نمونه تهیه شده با کمک ذوب لیتیوم بورات مخلوط شده و در ظروف پلاتینی روی شعله ذوب شدند (ذوب قلیایی). شیشه حاصل به وسیله مخلوط چهار اسید قوی (اسید هیدروکلریک، اسیدنیتریک، اسیدپرکلریک و اسید هیدروفلوریک) حل شده و پس از به حجم رسانیدن به وسیله آب مقطر، توسط دستگاه طیفسنجی القائی پلاسمای جفتیده (ICP-MS) تجزیه شدند. تجزیه‌ها در شرکت Actlabs کانادا انجام شدند. تجزیه استانداردها به همراه نمونه‌ها نشان می‌دهد که دقت تجزیه برای عناصر فرعی در کوارتز حدود ۳ درصد است. نتایج تجزیه-هادر جدول ۱ آمده است

تعیین خاستگاه کوارتزهای قهروod با استفاده از بررسی عناصر کمیاب آنها

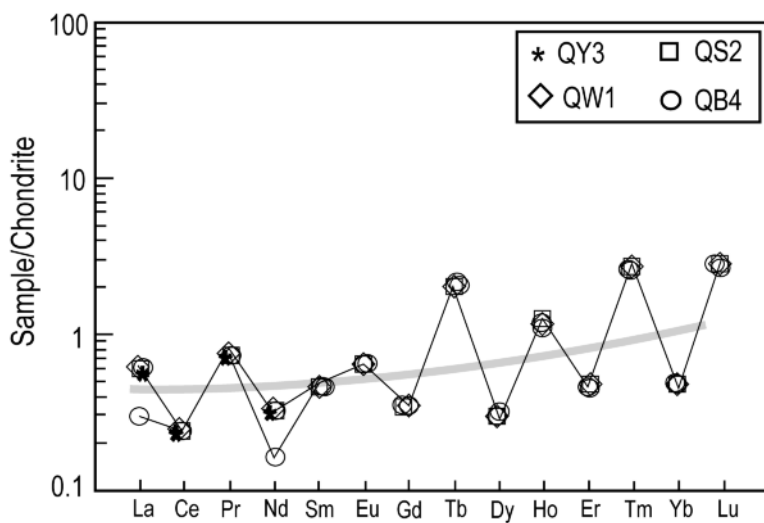
الگوی عناصر خاکی نادر برای کوارتزهای قهروod که بر اساس داده‌های مرجع [۱۷] نسبت به کندrit‌ها بهنجار شده است غنی‌شدنگی مشخصی از HREE نسبت به LREE را نشان می‌دهد (شکل ۶).

طبق نظر [۶] این ویژگی به ترکیب مایعات اولیه‌ای بستگی دارد که غنی از Y و HREE بوده اند. کوارتزهای با غنی‌شدنگی Al, Na, و سایر عناصر (برای مثال K, Li, Ti, Ge) بالایی دارند. توزیع این عناصر بیشتر در کانال‌ها و شبکه‌های ساختاری موازی با محور c کوارتز و یا در سیالات درگیر صورت می‌گیرد.

در بررسی‌های صورت گرفته توسط [۳] مشخص شده است که از الگوی نمودارهای عنکبوتی می‌توان به تشخیص دقیقی از کوارتزهای با خاستگاه گرمابی رسید. در صورتی که مقدار AI موجود در نمونه‌ها از ۳۰ ppm و تمرکز پتاسیم موجود از ۳۵ ppm بیشتر باشد، مقادیر Sr, Rb, Li و Y بالاتر از حد

جدول ۱ مقدار عناصر فرعی در چهار نمونه از کوارتزهای منطقه قهرود.

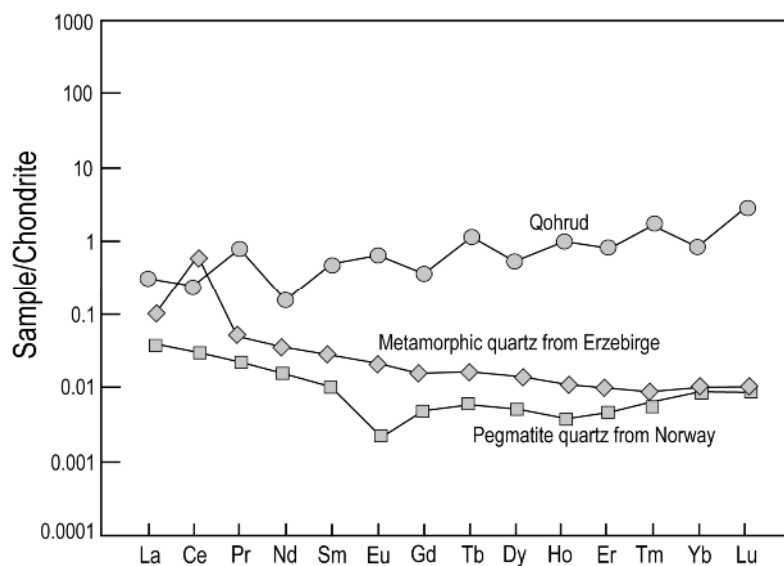
Analyte	Unit	Detection	QW1	QS2	QY3	QB4
Mn	ppm	۱	۱۲۶	۱۱۲	۱۳۰	۱۷۸
W	ppm	<۰.۱	۰.۱	۰.۳	۰.۱	۰.۱
B	ppm	۱	۱۲	۱۳	۱۱	۱۱
Li	ppm	<۰.۵	۱۱	۸.۴	۹.۷	۱۲.۲
Na	%	<۰.۱	<۰.۰۱	<۰.۰۱	<۰.۱	<۰.۰۱
Mg	%	<۰.۱	۰.۰۵	۰.۰۵	۰.۰۵	۰.۰۵
Al	%	<۰.۱	۰.۱۷	۰.۱۹	۰.۱۹	۰.۱۴
K	%	<۰.۱	۰.۰۱	۰.۰۳	۰.۰۱	۰.۰۱
Ca	%	<۰.۱	۰.۱۱	۰.۱۴	۰.۰۷	۰.۰۵
Ti	ppm	<۰.۱	۱.۲۲	۱.۰۷	۱.۱۳	۱.۰۵
Cd	ppm	<۰.۱	<۰.۱	<۰.۱	<۰.۱	<۰.۱
V	ppm	۱	۲	۳	۲	۲
Cr	ppm	<۰.۵	۷.۴	۶.۲	۶.۸	۷.۵
Fe	%	<۰.۱	۰.۲۶	۰.۲۴	۰.۲۴	۰.۲۸
Hf	ppm	<۰.۱	<۰.۱	<۰.۱	<۰.۱	<۰.۱
Ni	ppm	<۰.۵	۴	۲.۴	۴.۵	۷
Er	ppm	<۰.۱	<۰.۱	<۰.۱	<۰.۱	<۰.۱
Be	ppm	<۰.۱	<۰.۱	<۰.۱	<۰.۱	<۰.۱
Ho	ppm	<۰.۱	<۰.۱	<۰.۱	<۰.۱	<۰.۱
Hg	ppb	۱۰	<۱۰	<۱۰	<۱۰	<۱۰
Ag	ppm	<۰.۰۵	۰.۱	۰.۰۶	۰.۱	۰.۱
Cs	ppm	<۰.۰۵	۰.۱۶	۰.۱۸	۰.۱۷	۰.۱۶
Co	ppm	<۰.۱	۳	۲	۳	۳.۱
Eu	ppm	<۰.۰۵	<۰.۰۵	<۰.۰۵	<۰.۰۵	<۰.۰۵
Bi	ppm	<۰.۰۲	۱.۸۶	۰.۰۸	۱.۶۵	۲.۶۱
Se	ppm	<۰.۱	<۰.۱	<۰.۱	<۰.۱	<۰.۱
Ga	ppm	<۰.۲	۶.۳۷	۰.۱	۰.۲۸	۸.۳
As	ppm	<۰.۱	<۰.۱	<۰.۱	<۰.۱	<۰.۱
Rb	ppm	<۰.۲	۳	۲.۳	۳	۳
Y	ppm	<۰.۱	۱۲	۱.۷	۱.۵	۰.۶
Zr	ppm	<۰.۱	۰.۲	۰.۲	<۰.۱	<۰.۱
Nb	ppm	<۰.۱	<۰.۱	<۰.۱	<۰.۱	<۰.۱
Mo	ppm	<۰.۱	<۰.۱	<۰.۱	<۰.۱	۰.۲
In	ppm	<۰.۱	۰.۳۱	۰.۳۱	۰.۳۱	۰.۳۱
Sn	ppm	<۰.۱	<۰.۱	<۰.۱	<۰.۱	<۰.۱
Sb	ppm	<۰.۱	۲	۴	۲	۲
Te	ppm	<۰.۱	۰.۸	۰.۹	۰.۹	۱.۱
Ba	ppm	<۰.۱	<۰.۱	<۰.۱	<۰.۱	<۰.۱
La	ppm	<۰.۱	۱۶	۱۴	۱۴	۱۸
Ce	ppm	<۰.۱	۰.۲	۰.۲	۰.۲	<۰.۱
Pr	ppm	<۰.۱	۰.۲	۰.۲	۰.۲	۰.۲
Nd	ppm	<۰.۱	<۰.۱	<۰.۱	<۰.۱	<۰.۱
Sm	ppm	<۰.۱	۰.۲	۰.۲	۰.۲	<۰.۱
Gd	ppm	<۰.۱	<۰.۱	<۰.۱	<۰.۱	<۰.۱
Tb	ppm	<۰.۱	<۰.۱	<۰.۱	<۰.۱	<۰.۱
Dy	ppm	<۰.۱	<۰.۱	<۰.۱	<۰.۱	<۰.۱
Cu	ppm	<۰.۱	<۰.۱	<۰.۱	<۰.۱	<۰.۱
Ge	ppm	<۰.۱	۴۱.۸۳	۳۹.۵	۴۰.۳۸	۴۳.۱
Tm	ppm	<۰.۱	<۰.۱	<۰.۱	<۰.۱	<۰.۱
Yb	ppm	<۰.۱	<۰.۱	<۰.۱	<۰.۱	<۰.۱
Lu	ppm	<۰.۱	<۰.۱	<۰.۱	<۰.۱	<۰.۱
Ta	ppm	<۰.۱	<۰.۱	<۰.۱	<۰.۱	<۰.۱
Sr	ppm	<۰.۱	<۰.۱	<۰.۱	<۰.۱	<۰.۱
Re	ppm	<۰.۰۱	۲.۷	۰.۲	۳.۶	۱.۹
Tl	ppm	<۰.۰۱	<۰.۰۱	<۰.۰۱	<۰.۰۱	<۰.۰۱
Pb	ppm	<۰.۰۵	<۰.۰۵	<۰.۰۵	<۰.۰۵	<۰.۰۵
Th	ppm	<۰.۱	۴.۲۴	۷.۱	۲.۴۵	۲.۳
U	ppm	<۰.۱	۰.۵	۰.۳	۰.۳	۰.۶
Si	%	<۰.۱	۴۶.۴۲	۴۶.۴۳	۴۶.۴۱	۴۶.۴۱



شکل ۶ الگوی عناصر خاکی نادر بهنجار شده بر اساس داده‌های مرجع [۱۷] برای کوارتزهای قهرود (داده‌ها نسبت به کندریت بهنجار شده‌اند). هر چهار نوع کوارتز الگوی تقریباً مشابهی را نشان می‌دهند و بیانگر صعودی بودن نمودار و غنی شدگی از HREE نسبت به LREE‌ها هستند.

جدول ۲ تفاوت کوارتزهای گرمابی و کوارتزهای دگرگونی با توجه به عناصر کمیاب موجود در شبکه بلوری آنها.

کوارتزهای دگرگونی منطقه Erzgebirge [۳] آلمان	مشخصه کوارتزهای گرمابی در ذخایر قلع از نظر [۳]	میانگین عناصر در کوارتزهای قهرود- کاشان
Li ≤ 0.4 (ppm)	Li ≥ 0.9 (ppm)	Li = ۱۰.۳۳ (ppm)
Al ≤ 30 (ppm)	Al ≥ 50 (ppm)	Al = ۶۹.۰ (ppm)
K ≤ 35 (ppm)	K ≥ 45 (ppm)	K = ۶۰.۰ (ppm)
Rb ≤ 50 (ppb)	Rb ≥ ۲۵۰ (ppb)	Rb = ۱.۲۵ (ppm)
Sr ≤ 0.3 (ppm)	Sr ≥ 0.5 (ppm)	Sr = ۲.۳۵ (ppm)
Y ≤ 15 (ppb)	Y ≥ ۴۰ (ppb)	Y = ۱.۵ (ppm)



شکل ۷ تفاوت کوارتزهای گرمابی قهرود کاشان و کوارتزهای پگماتیتی (نروژ)، با توجه به الگوی عناصر کمیاب بهنجار شده نسبت به کندریت‌ها.

ترکیب شیمیایی کوارتزهای تجزیه شده منطقه قهروند در جدول ۱ دیده می‌شود. نوع عناصری که وارد ساختار کوارتز می‌شوند بستگی به شعاع کاتیونی و بار الکتریکی آنها دارد. تعداد کاتیون‌هایی که می‌توانند به جای Si^{4+} در ساختار کوارتز وارد شوند بسیار محدود است زیرا شعاع یونی سیلیسیوم در مقایسه با سایر کاتیون‌های چهار ظرفیتی کوچکتر است [۴]. کاتیون‌هایی که جانشین سیلیسیوم در ساختار کوارتز می‌شوند عبارتند از Al^{3+} , Ti^{4+} , Fe^{3+} , Ge^{4+} , P^{5+} , Ga^{3+} .

کانال‌های نسبتاً بزرگ در ساختار کوارتز به موازات محور H^+ , Na^+ , K^+ بلوری c وجود دارند. کاتیون‌های بزرگتر مانند Li^+ , Fe^{2+} , Cu^+ , Co^{2+} , Ag^+ جایگیری کرده و هنگام جانشین شدن کاتیون‌های سه و پنج ظرفیتی به جای سیلیسیوم چار ظرفیتی، تعادل بار الکتریکی در بلور را حفظ کنند [۱۹, ۲۰].

مقدار Ti در کوارتزهای بررسی شده ۱,۰۵ تا ۱,۲۲ قسمت در میلیون است. سایر عناصر قبل توجه در ساختار کوارتزهای قهروند عبارتند از منگنز به مقدار ۱۱۲ تا ۱۷۸ قسمت در میلیون، لیتیوم به مقدار ۸/۴ تا ۱۲/۲ قسمت در میلیون و ژرمانیوم که حدود ۴۰ قسمت در میلیون از ترکیب کوارتز را به خود اختصاص داده است.

از آنجاکه روتیل به صورت ادخال در کوارتزهای منطقه دیده می‌شود می‌توان نتیجه گرفت که سیستم گرمابی اشباع از TiO_2 بوده است. بدین ترتیب می‌توان از دماستج TitaniQ برای کوارتزهای منطقه قهروند استفاده کرد. میانیگن دمای به دست آمده توسط معادله مرجع [۱۱] برابر با ۳۷۱ درجه سانتی‌گراد است. این دما با دمای محیط گرمابی و همچنین دمای محاسبه شده از سیلات درگیر (۳۰۶ تا ۵۵۰ درجه سانتی‌گراد) در کوارتز همخوانی دارد [۲۱].

برداشت

نفوذ توده گرانیتوئیدی قهروند در سنگ‌های رسوبی ژوراسیک و کرتاسه سیستم دگرسانی گرمابی گسترده‌ای را به ویژه در قسمت جنوبی ایجاد کرده است. کوارتزهای خود شکل درشت

دماستج کوارتزهای منطقه با روش TitaniQ

مقدار تیتانیوم در کوارتزهای آذرین و دگرگونی قابل توجه است (۱ تا ۱۰۰ قسمت در میلیون). بنابراین با روش‌های تجزیه ای مناسب می‌توان مقدار تیتانیوم در کوارتز را تعیین کرد. تیتانیوم چهار ظرفیتی در ساختار کوارتز به جای Si^{4+} در جایگاه چهار وجهی می‌نشیند [۱۸]. در سیستم‌های آذرین و دگرگونی که TiO_2 به مقدار زیاد (فاز اضافی) به شکل کانی‌های تیتانیوم‌دار (بیشتر روتیل و تیتانیت) وجود دارد، Ti می‌تواند وارد ساختار کوارتز شود. مقدار ورود این عنصر به ساختار کوارتز تابع دماست [۱۱]. در سنگ‌های آذرین منطقه، کانی‌های تیتانیوم دار به صورت تیتانیت و در کوارتزها به صورت روتیل وجود دارند. برای کالیبره کردن دماستج تیتانیوم در کوارتز که به دماستج TitaniQ معروف است، [۱۱] از کوارتز مصنوعی در حضور روتیل استفاده کردند. آزمایش در دمای ۶۰۰ تا ۱۰۰۰ درجه سانتی‌گراد و در فشار ۱ گیگا پاسکال انجام شد. این آزمایش نشان می‌دهد که مقدار Ti در کوارتز به طور اصولی با افزایش دما زیاد می‌شود. این وابستگی دمایی با معادله زیر بیان می‌شود.

$$\text{Log}(\text{X}_{\text{Ti}}^{\text{Qtz}}) = [(5.69 \pm 0.02) - (3765 \pm 24)] / (\text{T}^{\circ}\text{K}) \quad (1)$$

استفاده از این دماستج ساده است و تنها نیاز به تجزیه کوارتز در سنگ است. تجزیه را می‌توان با ریزپردازشگر (برای سنگ‌هایی که در دمای بالاتر از ۶۰۰ درجه سانتی‌گراد تشکیل شده‌اند) و با پردازشگر یونی (برای سنگ‌هایی که در دمای پایین تا ۴۰۰ درجه سانتی‌گراد به وجود آمده‌اند) و یا برای کوارتزهای درشت که به سادگی قابل جدایش از سنگ هستند به روش ± 5 ICP-MS انجام داد. این دماستج بسیار دقیق است (خطای درجه سانتی‌گراد) و قادر به تعیین تاریخچه دمایی سنگ‌های است. هر چند این دماستج برای سیستم‌های دارای روتیل (سیستم اشباع از TiO_2 و در نتیجه فعالیت TiO_2 برابر یک) کاربرد دارد، اما در صورتی که بتوان فعالیت TiO_2 را به روشنی تعیین کرد می‌توان آن را برای سیستم‌های فاقد روتیل نیز به کار برد [۱۱].

quartz", Contributions to Mineralogy and Petrology, (2010) 010-0505-3.

[6] Götze J., Plotze M., Graupner T., Hallbauer D. K., Colin J. B., "Trace element incorporation into quartz: A combined study by ICP-MS, electron spin resonance, cathodoluminescence, capillary ion analysis, and gas chromatography", Geochimica et Cosmochimica Acta, V. 68, (2004) 3741-3759.

[7] Landtwing M., Pettke T., "Relationships between SEM-cathodoluminescence response and trace element composition of hydrothermal vein quartz", American Mineralogist, V. 90, (2005) 122-131.

[8] Peppard B. T., Steele I. M., Davis A. M., Wallace P. J., Anderson A.T., "Zoned quartz phenocrysts from the rhyolitic Bishop Tuff", American Mineralogist, V. 86, (2001) 1034-1052.

[9] Storm L. C., Spear F. S., "Application of the titanium in-quartz thermometer to pelitic migmatites from the Adirondack Highlands, New York", Journal of Metamorphic Geology, V. 27, (2009) 479-494.

[10] Hayden L. A., Watson E. B., Wark D. A., "Rutile saturation in hydrous siliceous melts and its bearing on Ti-thermometry of quartz and zircon", Earth and Planetary Science Letters V. 258, (2007) 561-568.

[11] Wark D.A., Watson B.E., "TitaniQ: A titanium in-quartz geothermometer", Contributions to Mineralogy and Petrology, V. 152, (2006) 743-754.

[۱۲] بدر ا، طباطبائی منش م، مکی زاده م، هاشمی م، تقی پور ب، "مطالعه کانی شناسی و ژئوشیمی توده نفوذی قهروند پترولوزی" پژوهش‌نامه ایرانی‌گردان، ۱۵(۴)، ۹۷-۱۰۴ (۱۳۹۲).

[۱۳] شرافت ش، محمدی نسب ع، مکی زاده م ع، خدامی م، "پیدایش ژاروسیت در گرانویوریتلهای دگرسان قهروند" دانشگاه آزاد واحد زاهدان، ۳(۲)، ۹۶-۱۰۱ (۱۳۸۵).

[۱۴] رضایی م ر، قره چاهی ز، اسلامی ع ر، موذن م، "معرفی و نحوه تشکیل شش نوع کوارتز هگزاگونال در منطقه قهروند-کاشان، استان اصفهان". اولین همایش مجازی علوم زمین، دانشگاه ارومیه (۱۳۹۲).

در اثر فعالیتهای گرمابی در سنگ‌ها و بیشتر به شکل پر کننده شکاف‌ها تشکیل شده‌اند. عناصر فرعی در این کوارتزها تعزیز شیمیایی شدن. مقدار این عناصر نشان دهنده خاستگاه گرمابی برای کوارتز است. از مقدار تیتانیم موجود در کوارتز ۳۷۱ درایعی دمای تشکیل آن استفاده شد. این دما حدود ۳۷۱ درجه سانتیگراد است. دمای محاسبه شده با استفاده از سیالات درگیر در بررسی دماهای به دست آمده از دماسنجی تیتانیم در کوارتز TitaniQ را تأیید می‌نماید.

قدرتمند

این پژوهش با حمایت مدیریت تحصیلات تکمیلی دانشگاه تبریز صورت گرفته است. از خانم زهرا قره‌چاهی برای کمک-هایشان تشکر می‌کنیم. از سردبیر محترم مجله و داوران محترم که با نظرات سازنده موجب بهتر شدن مقاله شدند سپاسگزاریم.

مراجع

- [1] Rusk B. G., Lowers H. A., Reed M.H., "Trace elements in hydrothermal quartz: Relationships to cathodoluminescent textures and insights into vein formation", Geology, V. 36, (2008) 547-550.
- [2] Allan M.M., Yardley, B.W.D., "Tracking meteoric water infiltration into a magmatic hydrothermal system: A cathodoluminescence, oxygen isotope, and trace element study of quartz from Mt. Leyshon, Australia" Chemical Geology, V. 240, (2007) 343-360.
- [3] Monecke T., Kempe U., Götze. J., "Genetic significance of the trace element content in metamorphic and hydrothermal quartz: a reconnaissance study", Earth and Planetary Science Letters, V. 202, (2002) 709 - 724.
- [4] Muller A., Seltmann R., Behr H. J., "Application of cathodeluminescence to magmatic quartz in a tin granite case study from the Schellerhau granite complex, eastern Erzgebirge, Germany", Mineralium Deposita, V. 35, (2000) 169-189.
- [5] Thomas B., Watson B., Spear S., Philip T., Saroj K., "TitaniQ under pressure: the effect of pressure and temperature on the solubility of Ti in

- [18] Maschmeyer D., Lehmann G., "New hole centres in natural quartz." Physics and Chemistry of Minerals, V.10, (1983) 84-88.
- [19] Lehmann G., Bambauer H.V., "Quarzkristalle und ihre Farben". Angewacht für Chemie, V, 7 (1973) 281-289.
- [20] Weil J. A., "A review of electron spin spectroscopy and its application to the study of paramagnetic defects in crystalline quartz", Physics and Chemistry of Minerals, V. 10, (1984) 149-165.
- [۲۱] رضاپور م. ر., "مطالعه بلورهای شکل دار کوارتز منطقه کاشان"، پایان نامه کارشناسی ارشد دانشگاه تبریز (۱۳۹۳).
- [۱۵] رضاپور م. ر., مودن م., قره چاهی ز., سیمونز و.، حاج علی اوغلی ر., "معرفی و توصیف خصوصیات فیزیکی کوارتز هگزاجونال حاوی بلورهای گارنت در منطقه قهرود-کاشان، استان اصفهان" اولین همایش ملی زمین شناسی و اکتشافات معدنی، دانشگاه شهید باهنر کرمان (۱۳۹۳).
- [16] Kretz R., "Symbols for rock – forming minerals", American Mineralogist, V. 68, (1983) 277 – 279.
- [17] Sun S. S., McDonough W. F., "Chemical and isotopic systematics of oceanic basalts: implications for mantle composition and processes, In: Saunders, A.D., Norry, M.J. Eds., Magmatism in Ocean Basins", Geological Society Special Publication, London, (1989) 313–345.